

## Automatic Height Determination

### On the Way to Digital Levelling

#### The forerunners

Basics (configuration ,numerical and optical codes)

Image processing

The individual Solutions (Leica, Sokkia, Topcon, Trimble (Zeiss), FOIF)

Performances



Geodätische Messtechnik - Prof. Dr. H. Ingensand

ETH Zürich

## Developments and Patents

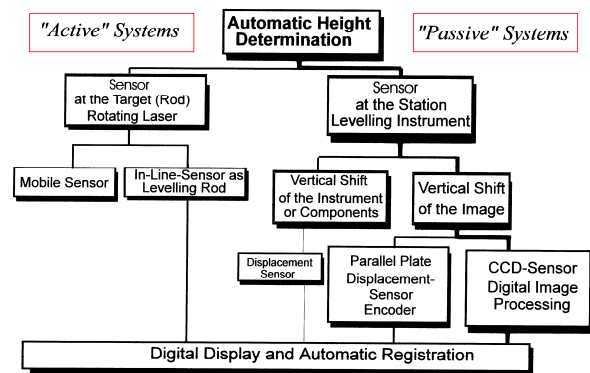
- 1966 Nivellier mit digitaler Anzeige (UNI Bonn)
- 1976 Sagem (Patentschrift)
- 1978 Thomson (Patentschrift)
- 1984 Messeinrichtung zur Erfassung der Relativposition zwischen zwei Teilen (WILD Heerbrugg). (Patentschrift)
- 1985 Längenmessverfahren (TU Dresden, Zeiss Jena) (Patentschrift)
- 1988 Anordnung zur Höhenmessung (Zeiss Jena) (Patentschrift)
- 1990 Wild NA2000
- 1990 Measuring a Difference in Elevation (Optec, Japan) (Patentschrift)
- 1992 Wild NA3000
- 1994 Zeiss DiNi10/20 und Topcon DL 100
- 1998 Sokkia
- 2003 Leica DNA 03/10 Baureihe
- 2004 Neue Trimble Baureihe auf Basis DINI (Zeiss)
- 2004 Leica Sprinter
- 2007 Chinesisches Digitalnivellier
- 2009 Sokkia/Topcon SDL1X



Geodätische Messtechnik - Prof. Dr. H. Ingensand

ETH Zürich

## Categorisation of Electronic Levels



Geodätische Messtechnik - Prof. Dr. H. Ingensand

ETH Zürich

## Active Systems



Rotationslaser



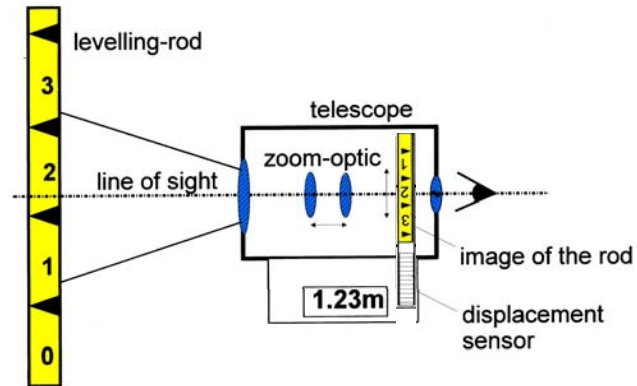
Diode line



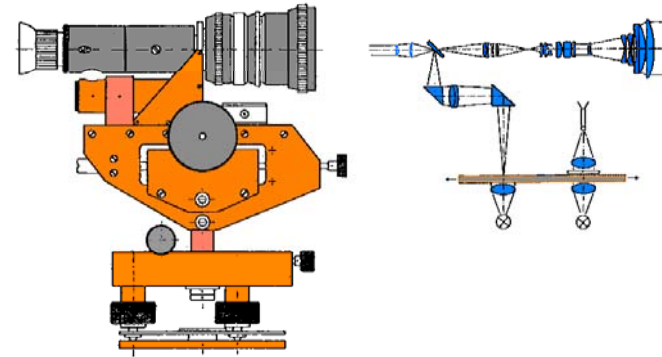
Geodätische Messtechnik - Prof. Dr. H. Ingensand

ETH Zürich

### The Principle of the „Bonn“ Digital Level



### The semi-automatisated „Bonn“ Digital Level (1970)

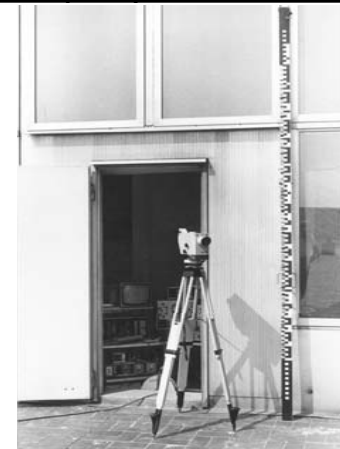


### Das Bonner Nivellier

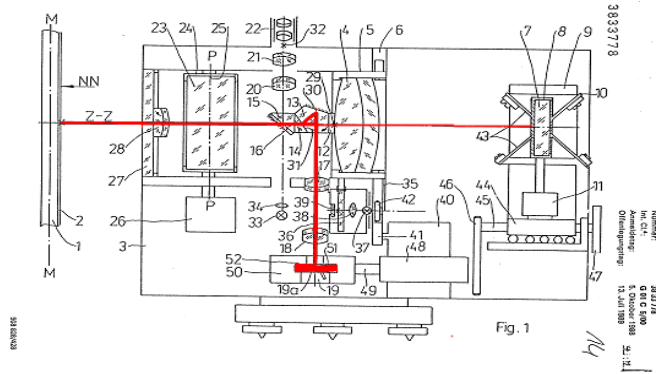


### The Dresden/Jena Digital Level (1982)

HANSEN-PÄPPEL    Offenlegungsschrift    DE 3739664 A1    DE 3739664 A1  
 PATENTANWÄLT    DE 3739664 A1  
 DE 3739664 A1  
 DE 3739664 A1

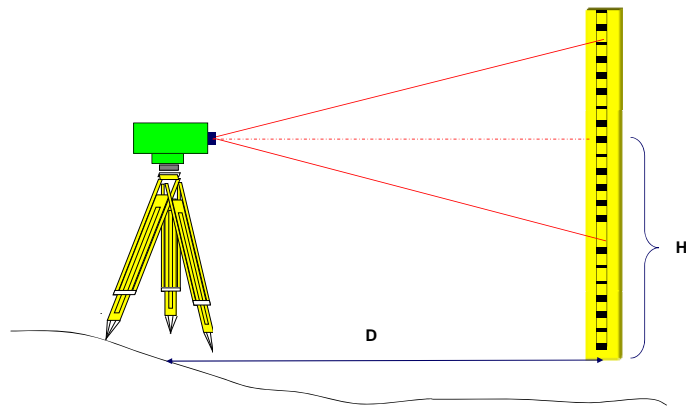


### Inside the Zeiss Ni002 DL Prototype

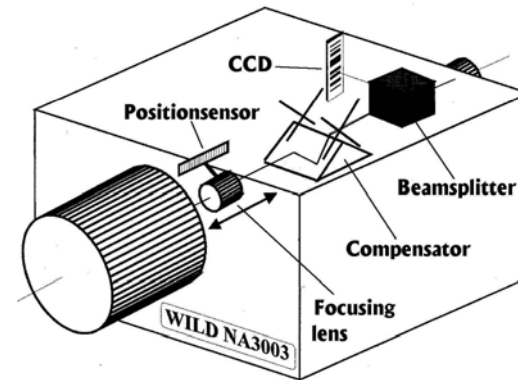


### Today's Digital Levels

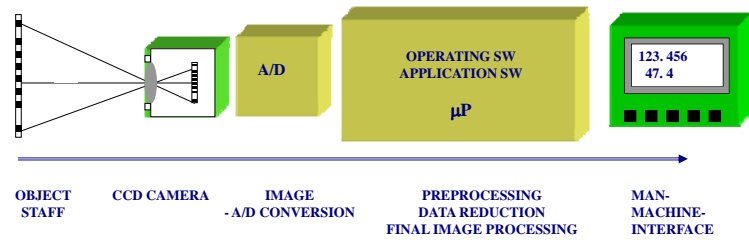
### Basic configuration of DL



### General Design



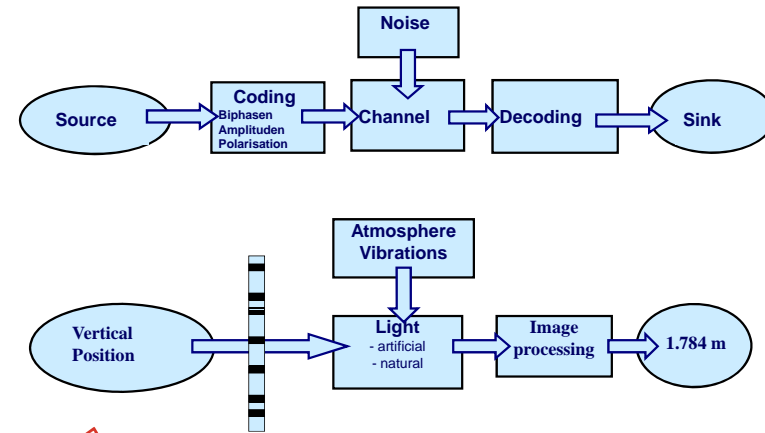
### Image Processing in Digital Levels



Geodätische Messtechnik - Prof. Dr. H. Ingensand

ETH Zürich

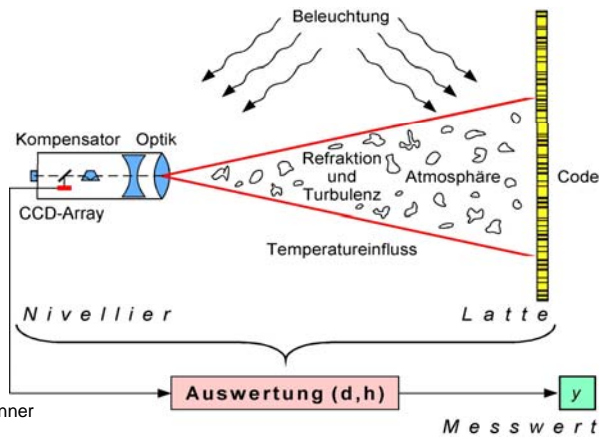
### The Information Transfer in DL



Geodätische Messtechnik - Prof. Dr. H. Ingensand

ETH Zürich

### Digitales Nivellier als Messsystem



Woschitz/Brunner  
2001



Geodätische Messtechnik - Prof. Dr. H. Ingensand

ETH Zürich

### NOISE

Illumination	Atmospheric influences	Mechanical influences	Instrumental behaviour
Various light intensity of natural light (SNR)	Turbulences (blurred image, higher SNR)	Vibrations (deviation of the line of sight)	Thermal effects (deviation of the line of sight)
Inhomogeneous light intensity by shadows at the staff	Refraction (deviation of the line of sight)	Settlement of the instrument and staff	Interference of code-element size and pixels (wrong results at certain distances)
Spectrum of the light source		Staff centring and inclination of the staff	Compensator function (eigenfrequency)



Geodätische Messtechnik - Prof. Dr. H. Ingensand

ETH Zürich

### Optimisation of DL Codes Properties

➤ 1. Numerical Code *Pseudo-stochastic, redundant, un-ambiguous, According to the Staff Length (0-4 m). Fast Decoding Patents of the Competitors*

➤ 2. Optical Code *Optimal Resolution as a Function of the Distance and the resolution of the Optics and CCD Safe against Noise Influences as: Turbulence, Blur, Image Distortions,.....*

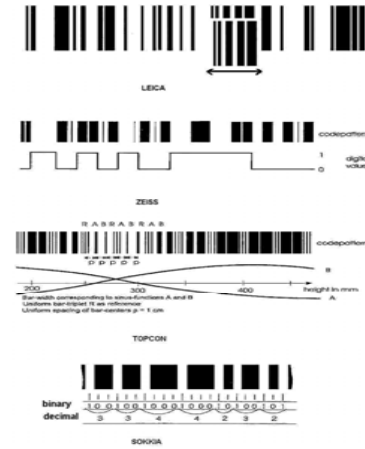
*Near field- , Far field Code  
Optical Coding Possible  
(Analog or digital Width Variation, Bi-Phase,..)  
Patents of the Competitors*



Geodätische Messtechnik - Prof. Dr. H. Ingensand

ETH Zürich

### Overview of the Various Optical Codes in DL



Geodätische Messtechnik - Prof. Dr. H. Ingensand

ETH Zürich

### Similarities of Geodetic Calculation Procedures (Coding-Decoding)

Technique	Digital levels	EDM	GPS
Biphase Modulation	X	X	X
Correlation	X	X	X
FFT	X	X	



Geodätische Messtechnik - Prof. Dr. H. Ingensand

ETH Zürich

### Code Properties

Manufacturer	Properties	Near-farfield code	Distance/ scale required	Dimension of one code element
Leica	Pseudostochastic	Yes	Yes	2.025 mm
Sokkia	Random bidirectional Digital width relation	Yes	No	16 mm
Topcon	Analog width variation	No	No	10 mm
Zeiss	Biphase	Yes	No	20 mm



Geodätische Messtechnik - Prof. Dr. H. Ingensand

ETH Zürich

## Image processing in DL



Geodätische Messtechnik - Prof. Dr. H. Ingensand

ETH Zürich

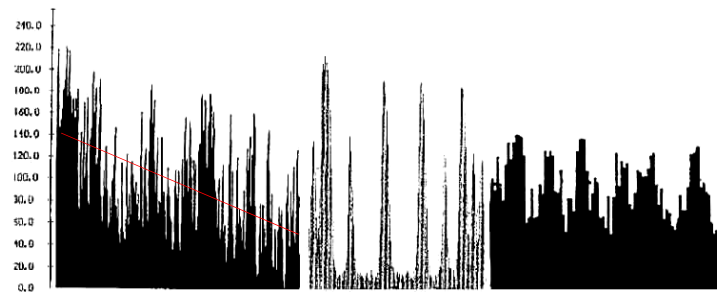
## In-Homogenous Light Distribution



Geodätische Messtechnik - Prof. Dr. H. Ingensand

ETH Zürich

## CCD Images



shaded staff

good SNR

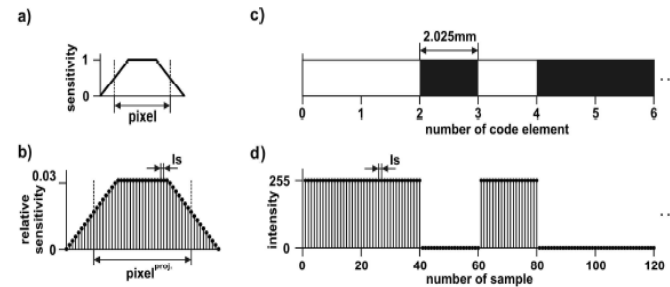
bad SNR



Geodätische Messtechnik - Prof. Dr. H. Ingensand

ETH Zürich

## Pixle's intensity correction by folding with trapezoidal function



Leica: (a) Trapezoidal detector function, (b) sampling of the projected detector with  $I_s$ , (c) image of the first 6 code elements on the staff and (d) their samples.



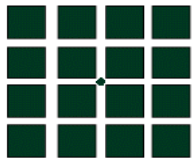
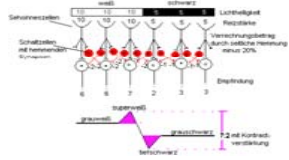
Geodätische Messtechnik - Prof. Dr. H. Ingensand

Woschitz 2003

ETH Zürich

### Analogies of Human and Technical Image Processing

#### Lateral Inhibition



#### Radiometric Correction

#### Edge Operators

Canny

Sobel

.....



Geodätische Messtechnik - Prof. Dr. H. Ingensand

ETH Zürich

### Ancillary Devices: Invarstoffs

Expansion coefficient: 0,6-1,2 ppm (Invar), Superinvar 0 ppm

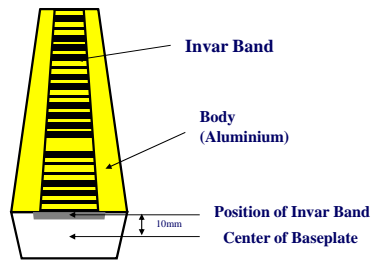
#### Support (L&T) Illumination



Geodätische Messtechnik - Prof. Dr. H. Ingensand

ETH Zürich

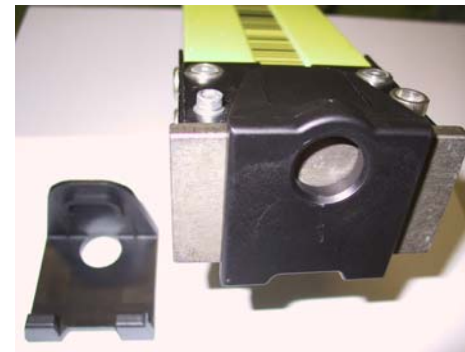
### Invarstaff Geometry



Geodätische Messtechnik - Prof. Dr. H. Ingensand

ETH Zürich

### Centering Rings from NEDO



Geodätische Messtechnik - Prof. Dr. H. Ingensand

ETH Zürich

### **Staff Support (L&T)**



**geomETH**

Geodätische Messtechnik - Prof. Dr. H. Ingensand

ETH Zürich

### **New Staff Illumination by Riesen & Stettler**



Stettler&Riesen



Stettler&Riesen  
Solothurn

**geomETH**

Geodätische Messtechnik - Prof. Dr. H. Ingensand

ETH Zürich

### **Aktuelle Digitalnivellierhersteller**

- Leica
- Trimble (Zeiss)
- Sokkia Topcon
- First Optical Industry Factory (FOIV)

**geomETH**

Geodätische Messtechnik - Prof. Dr. H. Ingensand

ETH Zürich

### **Leica Family NA 2000/3000 DNA03/10**

**geomETH**

Geodätische Messtechnik - Prof. Dr. H. Ingensand

ETH Zürich



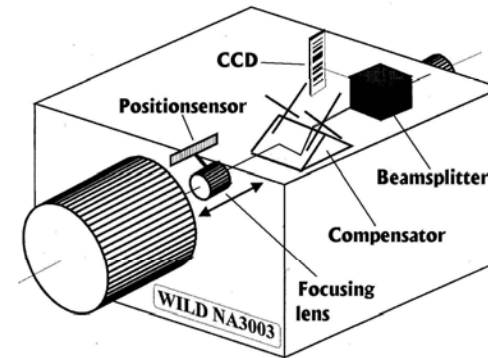
**The new Leica Digital Level Family**



Geodätische Messtechnik - Prof. Dr. H. Ingensand

ETH Zürich

**The WILD Leica Development NA 2000/3000**



Geodätische Messtechnik - Prof. Dr. H. Ingensand

ETH Zürich

**Section of the NA2000**



Geodätische Messtechnik - Prof. Dr. H. Ingensand

ETH Zürich

**Inside the NA2000**

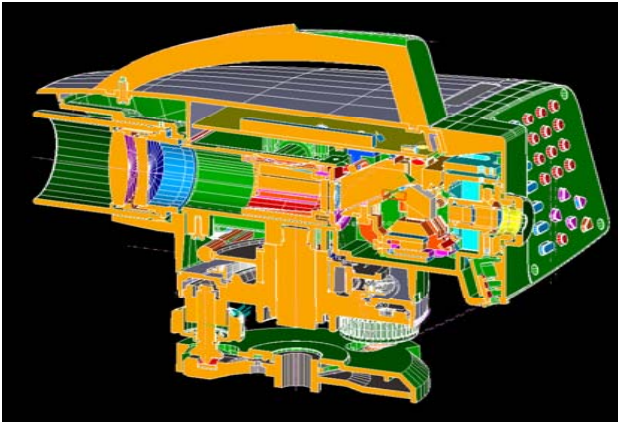


Geodätische Messtechnik - Prof. Dr. H. Ingensand

ETH Zürich

### Design – Inside Leica Level

- Magnetic dampened compensator
- The use of incandescent or halogen lighting is also possible.



### The Leica Code

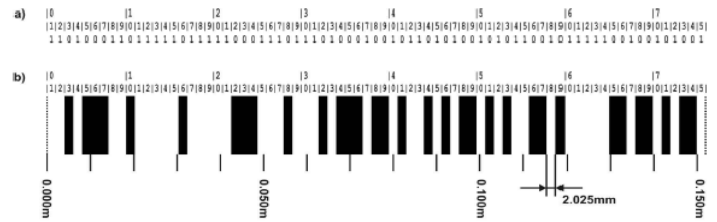
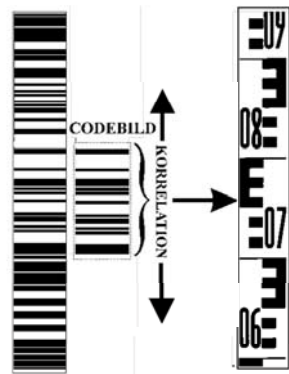


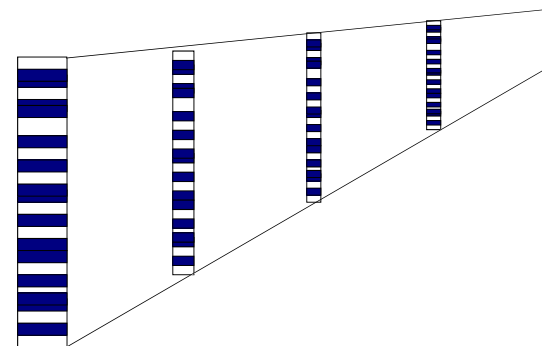
Figure 2.5: Leica's code pattern: (a) the code sequence and (b) the representation of 75 code elements at the lower end of the staff (0.000m - 0.152m).

Thesis Woschitz

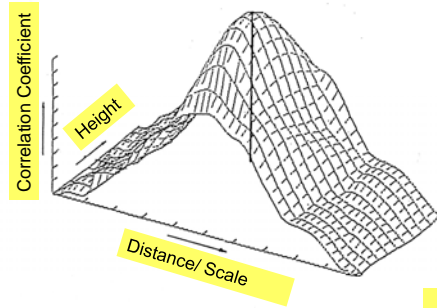
### The Correlation Procedure of Leica



### The Scale Problem



### The Correlation „Mountain“ of the Leica DL



Two dimensional correlation

$$\rho_{QP}(D, H) = \frac{1}{n} \sum_1^{256} Q_i \cdot P_i(D, H)$$

$Q$  = signal

$P(D, H)$  = reference signal

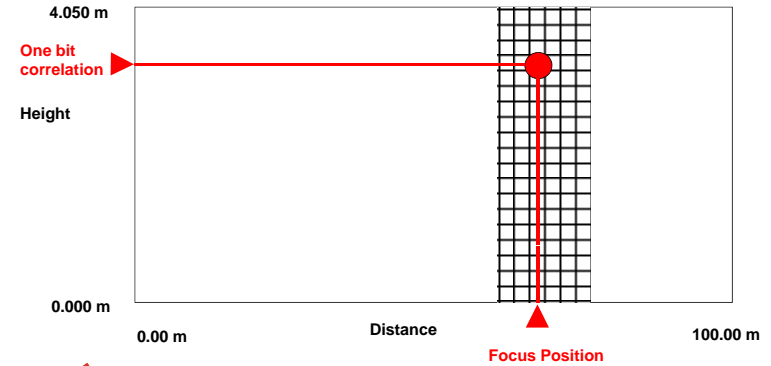


Geodätische Messtechnik - Prof. Dr. H. Ingensand

ETH Zürich

### The Determination of the Best Correlation

About 50 000 correlation in the whole range



Geodätische Messtechnik - Prof. Dr. H. Ingensand

ETH Zürich

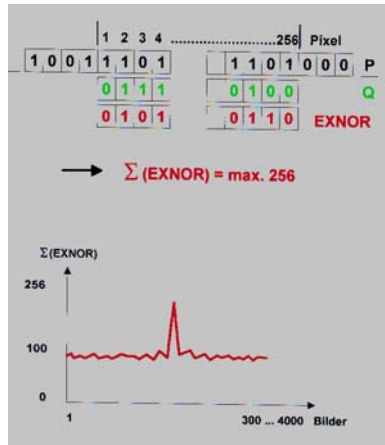
### The One Bit Coarse Correlation

$$\rho_{QP}(d, h) = \frac{1}{n} \sum_1^{n-1} Q_i(y) \otimes P_i(d, h)$$

$Q$  = signal

$P(d, h)$  = reference signal

$\otimes$  = EXNOR operator



Geodätische Messtechnik - Prof. Dr. H. Ingensand

ETH Zürich

### Normalized 8-bit correlation

$$\rho_{QP}(D, H) = \frac{\frac{1}{n} \sum_1^{n-1} Q_i \cdot P_i - \bar{Q} \cdot \bar{P}}{\sqrt{\frac{1}{n} \sum_1^{n-1} Q_i^2 - \bar{Q}^2} \cdot \sqrt{\frac{1}{n} \sum_1^{n-1} P_i^2 - \bar{P}^2}}$$

$Q$  = signal

$P(d, h)$  = reference signal



Geodätische Messtechnik - Prof. Dr. H. Ingensand

ETH Zürich

### Technical Data DNA03/10

- **Standard deviation per km double levelling**
  - With invar staff: 0.3mm / 0.9mm
- **Field of View**
  - Coarse correlation – 2° at 50m
  - Fine correlation – 1.1°
- **Range**
  - Staff: 0 – 4.05m
  - Distance: 1.8m – 110m
- **Standard deviation of distance measurement**
  - 5mm/10m (500ppm)



Geodätische Messtechnik - Prof. Dr. H. Ingensand

ETH Zürich

### DiNi 10, DiNi 20 Digital Levels



Perfect Measurement  
The Easy Way



Geodätische Messtechnik - Prof. Dr. H. Ingensand

ETH Zürich

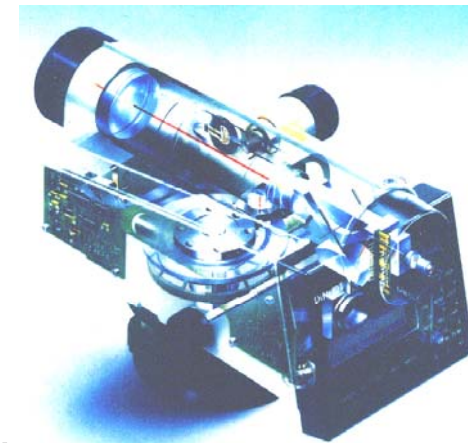
### Zeiss/Trimble DiNi



Geodätische Messtechnik - Prof. Dr. H. Ingensand

ETH Zürich

### Inside the Zeiss DiNi



Geodätische Messtechnik - Prof. Dr. H. Ingensand

ETH Zürich

### Optical Layout of the Zeiss/Trimble

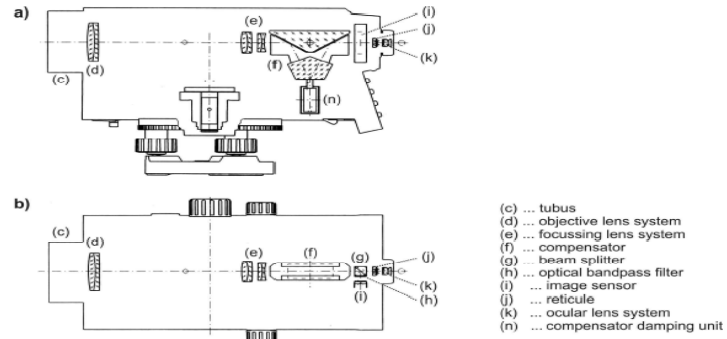
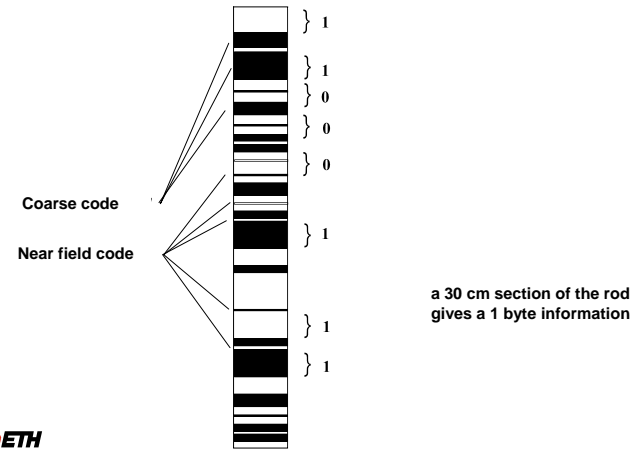


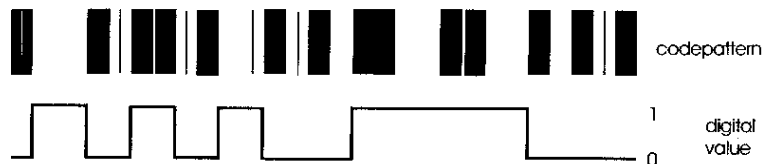
Figure 2.8: (a) Vertical and (b) horizontal cross section of the Zeiss DiNi10 (Feist et al., 1995).

### The Zeiss Code



### The Zeiss Biphase Code

Zeiss DINI codepattern and corresponding digital values



### Zeiss Code

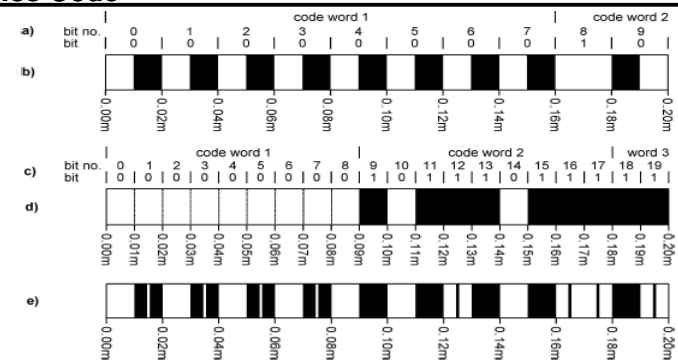
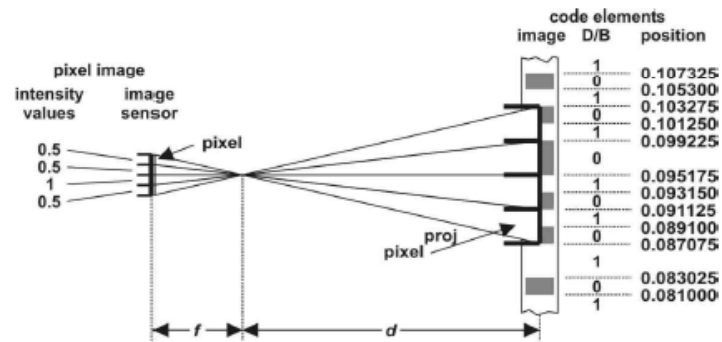
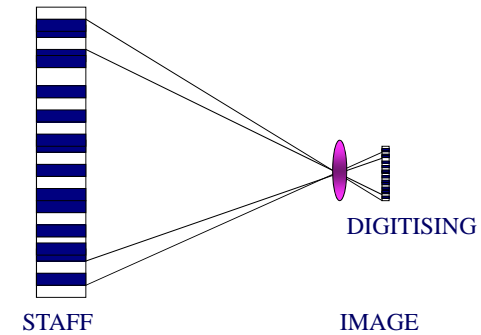


Figure 2.9: Trimble/Zeiss's code pattern shown for the lower end of the staff (0.000m - 0.200m, after Gürtler, 1995 and Schlosser, 1995): The standard code as a (a) pseudo-stochastic code sequence and as a (b) bi-phase code. The near-field-code as a (c) pseudo-stochastic code sequence and its (d) image. (e) Combination of standard and near-field-code.

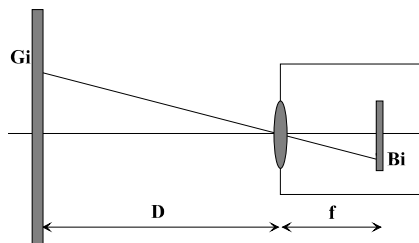
### Sampling of the Code



### Geometric Method (Zeiss)



### Determination of the Scale of the Image (Zeiss)



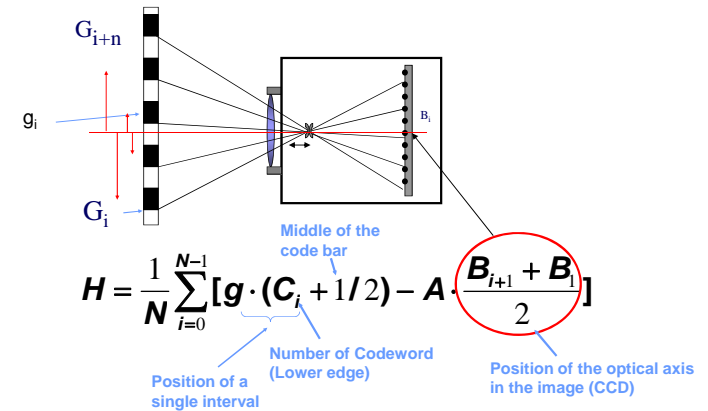
$$\frac{D}{f} = \frac{G_i}{B_i} \Rightarrow D \cdot B_i = f \cdot G_i$$

Using a +/-15 cm Interval:

$$A = \frac{N \cdot g}{B_{+15} - B_{-15}} \Rightarrow \text{Distance}$$

According to the Reichenbach method with stadia lines

### The Zeiss Calculation Procedure



$$H = \frac{1}{N} \sum_{i=0}^{N-1} [g \cdot (C_i + 1/2) - A \cdot \frac{B_{i+1} + B_i}{2}]$$

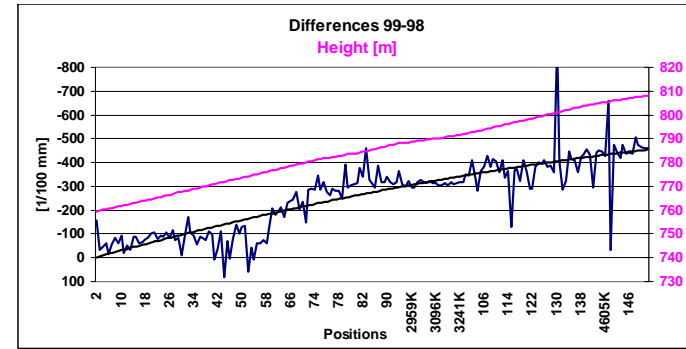
### Problems with the Zeiss/Trimble Instruments



Geodätische Messtechnik - Prof. Dr. H. Ingensand

ETH Zürich

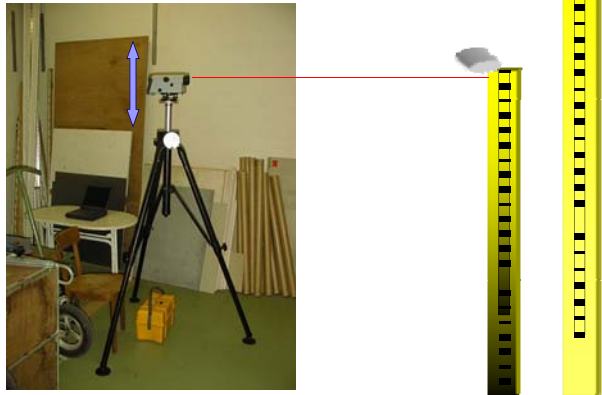
### Two Epoch Height-Differences versus Height



Geodätische Messtechnik - Prof. Dr. H. Ingensand

ETH Zürich

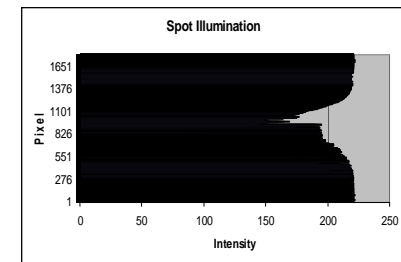
### Experimental Setup (ETHZ 2000)



Geodätische Messtechnik - Prof. Dr. H. Ingensand

ETH Zürich

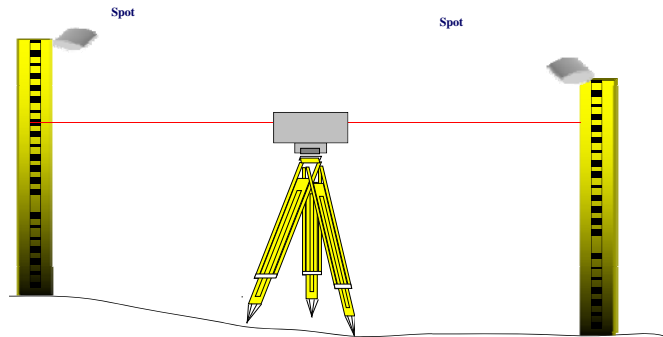
### Intensity Distribution



Geodätische Messtechnik - Prof. Dr. H. Ingensand

ETH Zürich

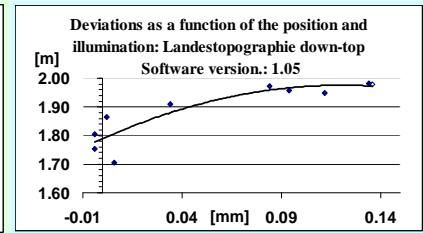
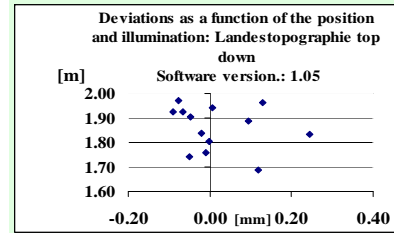
### Inhomogeneous Illumination at Back- and Foresight Shot



Geodätische Messtechnik - Prof. Dr. H. Ingensand

ETH Zürich

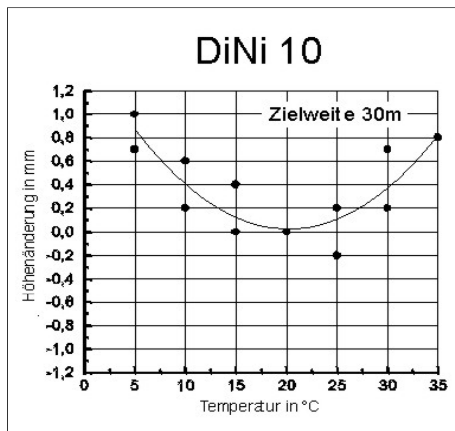
### The levelling staff-end problem superimposed with inhomogeneous illumination



Geodätische Messtechnik - Prof. Dr. H. Ingensand

ETH Zürich

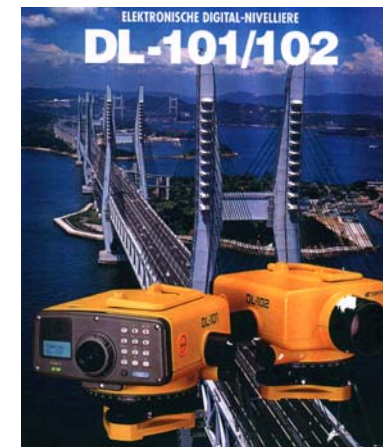
### Temperature Function of Zeiss DiNi (UNI Karlsruhe)



Geodätische Messtechnik - Prof. Dr. H. Ingensand

ETH Zürich

### The Topcon Precision Digital Levels



Geodätische Messtechnik - Prof. Dr. H. Ingensand

ETH Zürich



### The Topcon Digital Level



Geodätische Messtechnik - Prof. Dr. H. Ingensand

ETH Zürich

### The Topcon DL103 (Construction Level)



#### DL-103 Specifications

Telescope: 26x30mm 1°30'4" 0.9m Erect Image

Compensator: 10" 0.5"

Height Accuracy (Standard Deviation for 1km double run leveling) 1.8mm w/Fiberglass Staff 2.0mm w/Aluminum Staff 2.5mm 0.1mm/1mm (0.001ft/0.01ft) selectable

Distance Measurement: 1cm (0.02ft)

Accuracy (D= measuring distance: m) (0.1% x Dm) (D>10m), 10mm (D≤10m)±(0.15% x Dm) (D>10m), 15mm (D≤10m) 2m to 60m (7ft to 197ft) 2 sec. 10"/2mm

Others: 128 x 32 dot, Dot matrix LCD with backlight (55.01mm x 16.29mm) RS-232C5

#### Rod height/difference of elevation

Built-in timer for auto power-off 360° or 400gon AA battery x 420 hours (Alkaline) -20°C to +50°C (-4°F to +122°F) IPX 6196(H) x 158(W) x 232(L) mm

7.7(H) x 6.2(W) x 9.1(L) inch 2.3kg

Staff Length: 3m [9.84ft] Length: 5m [16.40ft] Length: 5m [16.40ft]



Geodätische Messtechnik - Prof. Dr. H. Ingensand

ETH Zürich

### The Topcon Code



Bar-width corresponding to sinus-functions A and B  
Uniform bar-triplet R as reference  
Uniform spacing of bar-centers  $p = 1\text{cm}$



Geodätische Messtechnik - Prof. Dr. H. Ingensand

ETH Zürich

### The SOKKIA SDL30/SDL50



Geodätische Messtechnik - Prof. Dr. H. Ingensand

ETH Zürich



## First Optical Instrument Factory (FOIF); China



Geodätische Messtechnik - Prof. Dr. H. Ingensand

ETH Zürich

## FOIF



Geodätische Messtechnik - Prof. Dr. H. Ingensand

ETH Zürich

## FOIF EL 100



**Das EL100** ist entworfen, um optimale Entscheidung für Ihre überblickenjobs durchzuführen. mit diesem neuen digitalen Niveau kann alle ebnenarbeit automatisch, schnell und ökonomischer ausgeführt werden. Das Drücken einer Taste kann Ihre Arbeit schneller und produktiver bilden. Einfach visieren Sie den Personal an, fokussieren Sie und betätigen Sie den Knopf, die Resultate erscheinen. Er ist so einfach

Die Höhengenaugigkeit ist  $\pm 1.5\text{mm}$ , und optischer Messwert und Elektronikmesswert sind selben. Genießen Sie mühelose Datenübertragung. Die Benutzer, die zu andere, FOIF Niveaus laufen zu lassen gewohnt sind, passen leicht sich dem EL100 an.

Die messende Abstandsstrecke ist bis 110m.



Geodätische Messtechnik - Prof. Dr. H. Ingensand

ETH Zürich

## FOIF Code



Geodätische Messtechnik - Prof. Dr. H. Ingensand

ETH Zürich

### Overview of the Performances of DL

Hersteller	TOPCON	LEICA	SOKKIA	TOPCON SOKKIA	Trimble	FOIF
<b>Instrument</b>	<b>DL102</b>	<b>DAN03</b>	<b>SDL30</b>	<b>SDL 1X</b>	<b>DiNi10/11/12</b>	<b>EL100</b>
<b>Accuracy mm/Km Double levelling</b>		0.4 mm Invarstaff	1,5 mm	0,2mm	0,3 mm	1,5 mm
<b>Distance (Resolution)</b>	1 cm	1 cm	0.1% x D	1 cm	1cm	ka
<b>Compensator Type Accuracy Range</b>	Pendulum 0.3" ± 15'	Pendulum 0.3" ± 15'	Pendulum - > ± 15'	Pendulum - > ± 15'	Pendulum 0.2" ± 15'	ka
<b>Measurement time</b>	4 s	4 s	> 3 s	> 3 s	4 s	ka
<b>Range</b>	2-60 m Invarstaff	1.5 - 60 m Invarstaff	1.6 - 100 m Standard-staff	1.6 - 100 m Invarstaff	1.5- 100 m Invarstaff	110 m
<b>Required Field of View</b>	no information	2'	1'20'	1'20'	Minimum 30 cm	ka



Geodätische Messtechnik - Prof. Dr. H. Ingensand

ETH Zürich

**End**



Geodätische Messtechnik - Prof. Dr. H. Ingensand

ETH Zürich